

中华人民共和国水利电力部技术改进局编

高压电气設備絕緣 預防性試驗方法

(修訂第三版)

中国工业出版社

中华人民共和国水利电力部技术改进局编

高壓電氣設備絕緣 預防性試驗方法

(修訂第三版)

中国工业出版社

本书介绍电气设备绝缘预防性试验的一些主要方法。全书共分六章：绝缘摇表试验；泄漏电流试验；介质损失角试验；电容比试验；交流耐压试验；绝缘油试验。每章中扼要地介绍了各种试验的基本原理，各种接线图，试验时的操作步骤和误差的消除方法，试验的注意事项以及试验结果的分析判断等。

本书可供电力系统中电气试验、运行、检修人员和工业企业电气工作人员参考。

中华人民共和国水利电力部技术改进局编
高压电气设备绝缘预防性试验方法
(修訂第三版)

*
水利电力部办公厅图书编辑部编辑 (北京阜外月坛南街房)

中国工业出版社出版 (北京佟麟阁路丙10号)

北京市音像出版业营业登记证字第110号

五三五工厂印刷

新华书店北京发行所发行·各地新华书店经售

*
开本 787×1092 · 印张 2 1/2 · 插页 1 · 字数 55,000

1958年1月水利电力出版社北京第一版

1963年5月北京新二版·1965年3月北京第四次印刷

印数 27,524—57,843 · 定价(科二)0.24元

*
统一书号：15185·1570(水电-274)

第三版序

本书在印行第三版时，又在原第二版的基础上，进行了若干修訂。主要是对文中遗漏之处作了一些补充，許多插图作了修改，图中符号不統一的，也尽量修改，加以統一。

水利电力部技术改进局
1963年1月

第二版序

这本小冊子自1958年1月出版以后，迄今已近四年。从各单位来信詢問再版的訊息和某些企业以油印方式分发使用种种情况看來，这本书确如初版序言中所述，是能够供电力系統各局、厂、綫路工区試驗及維护檢修人員参考的。

今年在貫彻党的調整、巩固、充实、提高的八字方針之下，我們认为应将本书修訂后加以再版。此次修訂中，书中的第六章更动較大；这是因为在1959年我国石油工业部頒布了“石油产品試驗方法”，其中有石油产品取样法(SYB2001-59)及变压器油耐电压(应称为击穿强度)試驗法(SYB2653-59)与本书第六章有关，此外我局于1960年拟訂了变压器油介質損失($\tg\delta$)和介电常数(ϵ)的測量方法草案，这些新材料都包括在修訂后的第六章內。

虽然經過一番努力，想把本书存在的所有錯誤加以訂正，但可能还有疏忽遺漏及限于水平而未能发现之处，希讀者不吝指正。

水利电力部技术改进局

1961年12月

目 录

第一章 絶縁搭表試験	1
第一节 概論	1
第二节 試驗步驟	4
第三节 注意事項	5
第四节 各種因素對絕縁電阻的影響	6
第五节 吸收試驗反映 B 級絕縁和 A 級絕縁局部缺陷及其受潮程度的作用	7
第二章 泄漏电流試験	9
第一节 概論	9
第二节 几種試驗接線的比較	10
第三节 試驗步驟	21
第四节 注意事項	22
第五节 影响試驗結果的因素	23
第三章 介质損失角試験	25
第一节 概論	25
第二节 介质損失角与頻率及溫度的关系	30
第三节 試驗方法	31
第四节 測量介质損失角的一般注意事項	41
第五节 介质損失角試験与設備局部缺陷的关系	42
第四章 电容比試験	47
第一节 概論	47
第二节 試驗方法	50
第三节 影响測量結果的因素	53
第四节 用电容比法試験 A 級絶縁受潮的效能	54
第五章 交流耐压试験	55

第一节	概論	55
第二节	試驗方法及接線	56
第三节	操作步驟	59
第四节	注意事項	60
第五节	直流耐压试驗及其在於轉電機預防性試驗中的 作用	65
第六节	匝間絕緣的感應工頻耐压试驗	66
第六章	絕緣油試驗	67
第一节	概論	67
第二节	取樣	68
第三节	击穿強度試驗	69
第四节	絕緣油的工頻介質損失角和介電常數試驗	71
第五节	絕緣油老化的情況	74
附录	76
一、	介質損失角溫度換算系數表	76
二、	關於溫度換算的解釋	78

第一章 絶緣搖表試驗

第一节 概論

外電場作用于電介質所發生的基本特性過程，是產生介質的極化，即介質中固有的相互制約的電荷發生位移，或使介質中的偶極子轉動。當作用電壓並不太大時，電介質的束縛電荷按其所受作用力的方向發生位移，電壓愈高，即電場強度越強，位移就越大。正電荷沿電場方向位移，負電荷則沿反方向位移。這種極化過程極為短暫，在一般電氣測量中可看成是瞬間完成的。因這種極化而生的電流普通稱為幾何電流，其對時間的變化曲線，如圖1-1所示。

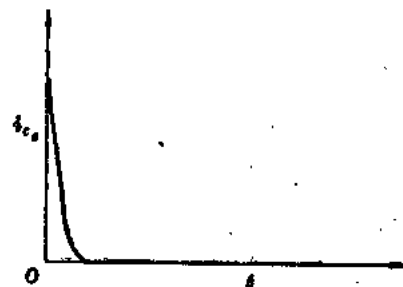


圖 1-1 在直流電壓下固体介質內幾何電流 i_t 對時間 t 的變化

電介質中的偶極子在外電場作用下將沿電場的方向而轉動，其極化時間依偶極子的電矩、分子的熱運動以及介質的粘度而不同，但比上述的那種極化時間要長。

在外電場作用下，電介質中的束縛離子將隨電場的方向

发生彈性位移。

如果絕緣是由不同介质复合而成，因为两种介质的介质常数和导电率的不同，电压的分布开始时决定于其电容量(即介质常数)，經過一段足够长的时间以后，就决定于其导电率。当电压从第一种分布过渡到第二种分布时，在两种不同介质常数的介质界面上的电荷必須移动，以适应电压的重新分布；同时，介质内部因此而产生电流。由以上三种极化所产生的电流称为吸收电流，它也随加压时间的增长而减小，但比充电电流慢得多，并决定于介质的不均匀程度和介质的结构形态。其对时间的变化曲綫如图1-2所示。

通常工程上所用的介质，并非純粹的絕緣体，里面还有极少数的束缚很弱的或自由的离子。当电压作用在介质上时，正负离子就分別向两极逐步移动。

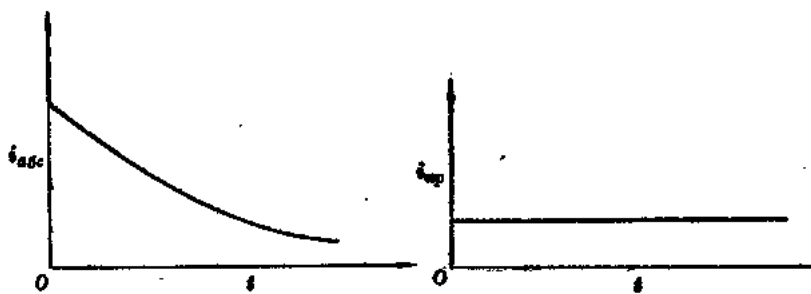


图 1-2 在直流电压下固体介质内吸收电流 i_{abs} 对時間 t 的变化

图 1-3 在直流电压下固体介质内傳导电流 i_{ap} 对時間 t 的变化

这些离子移动所产生的电流称为傳导电流，它在經過一定時間的加压后即趋于恒定，其值决定于介质在直流电場內的导电率。傳导电流对時間的变化曲綫如图 1-3 所示。

綜合上述，当直流电压作用于任何介质上时，通过的电

流可分为三部分：传导电流往往与介质表面的清洁情况及受潮有关，它是瞬变現象完結以后仅存在的电流；吸收电流和几何电流与受潮也有关系，是一个暫态現象，施加直流电压以后，电流升至定值，然后随時間的增长而逐渐减小，在相当长时间的加压后，趋近于零。这三个电流的总和，如图1-4所示。

所謂絕緣電阻試驗，就是用絕緣電阻來表示與時間无关的導電电流。當介質受潮、脏污或开裂以后，介質內的离子增加，因而導電电流剧增，絕緣電阻当然就小了，所以由絕緣電阻的大小，可以初步了解絕緣的情况。

在絕緣搖表試驗中，一方面可以求得加压到一定時間后的絕緣電阻值，同时还可以求得絕緣電阻与加压時間的关系。表示这一关系的曲綫称为吸收曲綫。由吸收曲綫的衰減情況，可以判断絕緣的受潮情況以及絕緣內部有无局部缺陷存在。这可以从下面的关系式中看出来，

$$R_\infty/R_0 = 1 + \frac{I_{ao}}{I_{np}},$$

式中 I_{np} ——導電电流值；

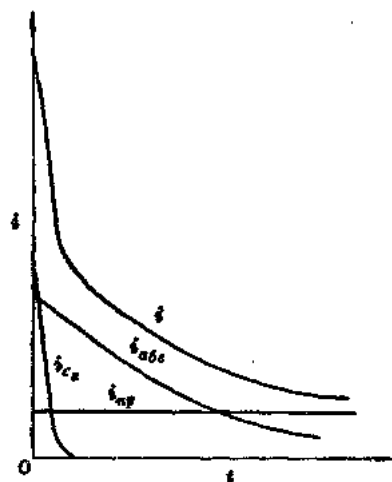


图 1-4 直流电压下固体介質內所产生各电流的总和 i 与時間 t 的变化

I_{ao} ——几何电流加吸收电流的起始值；

R_0 ——加压瞬间(即 $t_1 \rightarrow 0$)时的绝缘电阻值；

R_∞ ——测量过程终了(假设 $t_2 \rightarrow \infty$)时的绝缘电阻值。

绝缘受潮程度增加时，传导电流经常比吸收电流的起始值增长得快，因此在测量潮湿绝缘时， R_∞/R_0 的比值经常小些，而其极限为1。应用这一原理，由吸收试验所得的结果，就可以很好的判断出绝缘的情况。显然，在绝缘的吸收试验中， R_{60}''/R_{15}'' 的数值一定比 R_∞/R_0 的值要小一些。但 R_{60}''/R_{15}'' 的比值和受潮程度的关系，基本上仍然和 R_∞/R_0 的比值和其受潮程度的关系一样，实际上要测出 R_∞/R_0 的比值是有困难的。因此，在预防性试验中采用 R_{60}''/R_{15}'' 的比值，并不会影响其实用价值。

第二节 試驗步驟

1. 拆除被試物的电源及一切对外联綫后，应将被試物接地放电，放电时间至少1分钟，电容量較大的被試物至少2分钟。

2. 用干燥、清洁的柔軟布，擦去被試物表面的污垢。

3. 将搖表放在水平位置，并在額定轉速下調整指針到“ ∞ ”。有些型号的搖表，制造厂还要求作零值校核，其方法是将搖表的“地”与“綫”端柱短时地短接一下。

4. 将被試物接地綫接于搖表的“地”(“E”或“3”)柱上，被試物引出綫接于搖表的“綫”(“L”或“1”)柱上。如被試物接綫端可能产生表面泄漏电流时，应加遮蔽，接于搖表的“保护”(“G”或“9”)柱上，如图1-5所示。

5. 以恆定速度轉动搖表把手(約每分钟120轉)，搖表指

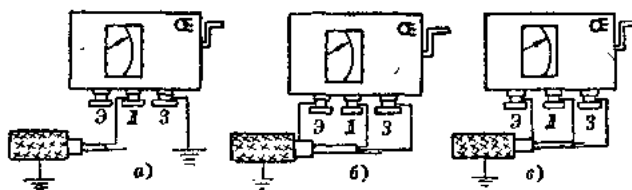


图 1-5 用搖表測絕緣電阻的接線圖
a—測對地絕緣；b，c—測相間絕緣，加以保護

針逐漸上升，待 1 分鐘後，記錄其絕緣電阻值。

6. 在錄制吸收曲線時，為了在開始計算時間時，就能在絕緣上加上全部試驗電壓，應于搖表接地側裝一絕緣良好的刀閘。當搖表達額定轉數後合上刀閘，同時開始計算時間，在 1 分鐘內，每 15 秒鐘記錄一次讀數。

7. 試驗完畢或重複試驗時，必須將被試物對地充分放電，至少 2 分鐘。

8. 記錄被試物溫度和氣候情況。

第三節 注意事項

1. 双回路架空送電線或母線當一路帶電時，不得測另一路的絕緣電阻，以防止感應高壓、損壞儀表或危害人身安全。在下列極個別情況下，可考慮帶電測絕緣電阻，並採用帶電作業的措施。

(1) 不可能全部停電的雙回路架空輸電線路或母線，當確認為被試線路感應電壓不高時。

(2) 短路干燥發電機的電壓不高時。

2. 搖表接線端及接地端的引出線不要靠在一起，如接線端引出線必須經其他支持物才能和被試物接觸時，必須用絕緣良好的支持物。

3. 轉動速度應尽可能保持額定值，并維持均勻轉速，不得低於額定值的80%。

4. 測量電容量較大的設備如大容量的發電機、較長電纜或電容器的絕緣時，最初充電電流很大，因而搖表指示數很小，但這並不表示被試物絕緣不良，必須經過較長時間，才能得到它的正確結果。

5. 如所測絕緣電阻過低，應分部試驗，找出絕緣電阻最低部分。

第四節 各種因素對絕緣電阻的影響

1. 濕度對絕緣電阻的影響

絕緣物的吸潮量，隨濕度的變化而變化。當空氣相對濕度大時，絕緣物由於毛細管作用，吸收較多水分，致使導電率增加，降低了絕緣電阻值，尤其是對表面泄漏電流的影響更大。

2. 溫度的影響

絕緣物的絕緣電阻，是隨着溫度的變化而變化的，其變化程度又隨絕緣的種類而異。富于吸濕性的材料，受溫度的影響最大，一般絕緣電阻隨溫度的上升而減少。這是因為溫度升高，加速了介質內部分子和離子的運動，同時絕緣內的水分，在低溫時和絕緣物相結合的緣故。當溫度上升時，水分即向電場兩極伸長，這樣在纖維物質中呈細長綫狀的水分粒子伸長，因而增加其導電性。此外，水分中含有溶解的杂质或絕緣物內含有鹽類、酸性物質，被水分解，亦會增加導電率，而降低絕緣電阻值。例如，發電機當溫度每變化 $8 \sim 10^{\circ}\text{C}$ 時，絕緣電阻降低一倍。

在預防性試驗中，為了便於比較不同溫度下的試驗結果

果，对于发电机絕緣以75°C为标准时，应按下列經驗公式进行換算。

$$M\Omega_{75} = \frac{M\Omega_t}{\frac{75-t}{2^{10}}},$$

式中 $M\Omega_{75}$ ——温度在75°C时之絕緣电阻(兆欧)；

$M\Omega_t$ ——温度为 $t^{\circ}\text{C}$ 时所測得的絕緣电阻值(兆欧)；

t ——測定时之温度($^{\circ}\text{C}$)。

对于 A 級絕緣的絕緣电阻換算式为：

$$R_2 = R_1 10^{\alpha(t_1 - t_2)},$$

式中 R_1 ——温度为 t_1 时所測得的絕緣电阻值；

R_2 ——換算至温度为 t_2 时的絕緣电阻值；

α ——絕緣物的溫度系数，它隨絕緣材料的种类而异，对于 A 級絕緣材料 $\alpha = 1/40$ 。

第五节 吸收試驗反映 B 級絕緣和 A 級絕緣 局部缺陷及其受潮程度的作用

1. 吸收試驗，反映 B 級和 B 級浸胶絕緣的旋轉电机的局部缺陷和受潮程度最为灵敏。

由于近代的高压旋轉电机的靜子主絕緣，主要是采用連續云母帶，而云母帶是用胶将紙或綢布与薄片云母粘合而成的，其結構极不均匀，与純云母性质不同。因而用云母帶絕緣的电机，其吸收現象非常明显。发电机靜子絕緣在制造过程中，已經过真空浸漬处理，其內部几乎无气泡和空隙，而云母本身又具有不易吸潮的特性，即使受潮，潮气亦不易深入，主要是沿着电場等位面分布(云母層之間)，除有局部缺陷，如絕緣发生裂紋等外，潮气夹杂物沿电力綫方向并无伸

長現象，因而 *B* 級和 *B* 級浸膠絕緣的電機受潮後，除非特別嚴重時，其吸收曲線基本上不改變。當局部缺陷及絕緣結合部分嚴重受潮時，將大大增加其傳導電流，致使其吸收曲線改變。根據這一原理，對 *B* 級和 *B* 級浸膠絕緣的電機進行吸收試驗，由其吸收比 $R_{60''}/R_{15''}$ 的變化，可以反映絕緣的情況。

2. *A* 級絕緣的設備(如變壓器等)的吸收現象並不顯著。

纖維質絕緣物的電氣設備，如變壓器等，其 $R_{60''}/R_{15''}$ 的數值和受潮程度的關係比較不顯著。這是由於這類絕緣，當其受潮程度增長時，不單是傳導電流增長，吸收電流亦同時增長。此外，沒有受潮的變壓器的吸收電流本來就小。又由於變壓器的固體絕緣物是用棉紗、電纜紙等絕緣材料，而這些固體絕緣，僅為變壓器絕緣的一小部分，其主要部分是由絕緣油組成，絕緣油是沒有吸收特性的(合成油除外)。同時沒有受潮的變壓器等的纖維絕緣，是相當均勻的，即使浸入絕緣油後，也相差不大，因而吸收現象不顯著。所以吸收試驗在判斷變壓器等纖維質絕緣的線圈受潮上，不太靈敏(與 *B* 級絕緣相比較)，但仍具有相當的反映能力，因此，變壓器的整體試驗中，利用吸收比的大小能有效的發現絕緣紙板、套管及線圈上的油泥等局部缺陷。因為當這些部分有局部弱點存在時，其傳導電流大增，吸收比也就減小。雖然它在反映絕緣受潮程度方面較差，但能有效地發現局部缺陷，故在預防性試驗中仍應進行吸收試驗。

第二章 泄漏电流試驗

第一节 概 論

泄漏电流試驗的原理与搖表試驗完全相同。不过泄漏电流試驗中所用的直流电源，一般均由高压整流設備供給，用微安表来指示泄漏电流。它比搖表优越的地方是：試驗电压高，并可随意調节。对一定电压等級的被試物施以相应的試驗电压，可使絕緣本身的弱点更易显示出来。同时在升压过程中，可随时監視微安表的指數，以了解絕緣情況。另外，因微安表的量程可以選擇，故其讀数較搖表精密。

加直流电压于被試物时，其充电电流(几何加上吸收)会随着时间的增长而逐渐衰减至零，而传导电流则保持不变。故微安表在加压一定時間后其指示趋于恒定，此时讀取其数值(一般为加压1分钟后的讀数)則等于或近于传导电流。对于良好的絕緣物，其传导电流与一定的外施电压的关系应为一直線。

但是实际上传导电流值 I_{np} 与电压 U 的关系曲線，仅在一定的范围内是类似直線的，如图2-1的A点。超过此範圍后，离子活动更加剧烈，此时电流的增长要比电压增长快得多，如图2-1中AB綫段呈弯曲状。到B点以后，如

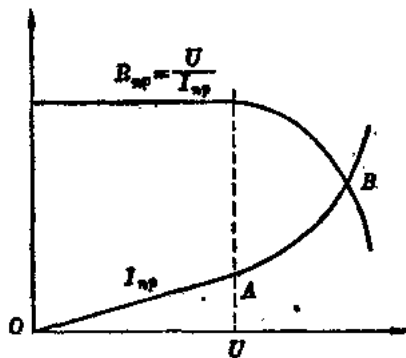


图 2-1 絶緣电阻值 R_{np} 和传导电流值 I_{np} 与外施电压 U 的关系

果电压再增加，则电流急剧增长，产生更多的损耗，以至绝缘物破坏，发生击穿。

在预防性试验中，泄漏试验所加的直流电压，大都在A点以下，故对绝缘良好者，其伏安特性应近于直线关系。当然，绝缘有缺陷（全部或局部）或受潮的现象存在时，则传导电流将急剧增加，而其伏安特性曲线就不再成为直线关系了。因此，泄漏试验可以分析绝缘有无缺陷和受潮现象存在。在发掘绝缘局部缺陷上，泄漏电流试验就更具有其特殊的意义了。

第二节 几种试验接线的比较

泄漏电流试验接线图，根据微安表及整流管所处位置的不同，可有六种接线方式。但严格地说来只有两种，即按微安表所处位置的不同而分。因为整流管所处位置仅决定于试验变压器的条件，如试验变压器为二个高压出头，且一头套管能承受二倍试验电压而另一头能承受试验电压时，则可尽量地将高压整流管灯丝接地，因为这样可以降低灯丝变压器的绝缘强度。

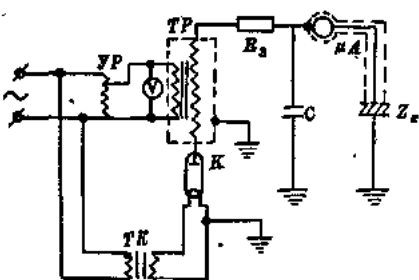


图 2-2 整流管灯丝在低压微安表处于高压时的泄漏试验接线图

下面对各种不同接线的优缺点加以研究：
1. 微安表处于高压端

图 2-2 中的 K 是高压整流管，是发生高压直流电源的主要设备。

TP 是高压试验变压器。TK 是灯丝变压